

ТЕЧЕНИЕ АНИЗОТРОПНО ПРОВОДЯЩЕЙ СРЕДЫ  
ПО КАНАЛУ В ЗОНЕ ВХОДА В МАГНИТНОЕ ПОЛЕ

*A. B. Ватажин, E. K. Холщевникова*

(Москва)

Вопросу о деформации плоского течения проводящей жидкости, протекающей по каналу  $|x| < \infty, 0 \leq y \leq h = \text{const}$  в зоне входа в магнитное поле  $B = (0, 0, B_*\eta(x))$ , где  $\eta(x)$  — единичная функция Хэвисайда ( $\eta(x) = 0$  при  $x < 0$  и  $\eta(x) = 1$  при  $x > 0$ ), посвящено значительное число работ. Очевидно, первой в этом направлении была статья Шерклифа [1,2], в которой определялся асимптотический (при  $x \rightarrow \infty$ ) профиль возмущенной скорости при течении изотропно проводящей жидкости в канале с непроводящими стенками. Рассмотренное Шерклифом течение реализуется в магнитогидродинамических расходомерах. Полный расчет возмущенного течения изотропно проводящей жидкости в канале магнитогидродинамического генератора произведен в работе [3]. Асимптотические профили скорости в канале магнитогидродинамического генератора с идеально секционированными электродами при течении по нему анизотропно проводящей среды были найдены в статье [4]. В работе [5] приводятся общие формулы для расчета асимптотического профиля скорости по известному распределению в канале возмущающих сил. В статьях [6,7] для решения уравнения относительно функции тока возмущенного течения предполагается использовать функцию Грина. Наконец, при помощи функции Грина в статье [8] выписано решение для возмущенного течения анизотропно проводящей жидкости в канале со сплошными электродами и рассчитаны асимптотические профили скорости.

В настоящей работе определяется течение анизотропно проводящей жидкости в канале с идеально секционированными электродами. Решение строится при помощи метода Фурье. Полученные ряды, в которых медленно сходящуюся часть удается связать с асимптотическим профилем [4], вычисляемым из решения обыкновенного дифференциального уравнения, дают возможность быстро найти поле скоростей. Строится подробная картина деформации профиля скорости. Отмечаются некоторые общие свойства течения в зоне входа в магнитное поле, при помощи которых удается обнаружить ошибку в расчетах [8].

Рассмотрим течение несжимаемой ( $\rho = \text{const}$ ) жидкости по каналу  $|x| < \infty, 0 \leq y \leq 1$  в поперечном магнитном поле  $b(x) = \eta(x)$ . Невозмущенное магнитным полем течение предполагается однородным:  $\mathbf{v} = (1, 0, 0)$ ,  $p = p_0 = \text{const}$ , а магнитные числа Рейнольдса — малыми. Такое течение описывается системой уравнений

$$u \frac{\partial u}{\partial x} + v \frac{\partial v}{\partial y} = - \frac{\partial p}{\partial x} + Nb j_y, \quad \frac{\partial u}{\partial x} + \frac{\partial v}{\partial y} = 0 \quad (1)$$

$$u \frac{\partial v}{\partial x} + v \frac{\partial v}{\partial y} = - \frac{\partial p}{\partial y} - Nb j_x \quad (N = \frac{\sigma B_*^2 h}{c^2 \rho U})$$

$$j_x = \frac{1}{1 + \beta^2 b^2} \left[ - \frac{\partial \Phi}{\partial x} + \beta b \left( \frac{\partial \Phi}{\partial y} + ub \right) + vb \right], \quad \frac{\partial j_x}{\partial x} + \frac{\partial j_y}{\partial y} = 0$$

$$j_y = \frac{1}{1 + \beta^2 b^2} \left[ - \frac{\partial \Phi}{\partial y} - \beta b \left( \frac{\partial \Phi}{\partial x} - vb \right) - ub \right] \quad (\beta = \frac{e \tau B_*}{mc}) \quad (2)$$

В системе (1), (2) продольная и поперечная скорости  $u$  и  $v$ , давление  $p$ , магнитное поле  $b$ , координаты  $x$  и  $y$ , ток  $\mathbf{j}$  и потенциал  $\Phi$  отнесены к средней по сечению скорости  $U$ , скоростному напору  $\rho U^2$ , характерному полю  $B_*$ , высоте канала  $h$  и величинам  $\sigma UB_*/c$  и  $UB_*h/c$  соответственно. Скалярная проводимость  $\sigma$  и безразмерный параметр Холла  $\beta$  ( $e$  и  $m$  —

заряд и масса электрона,  $\tau$  — среднее время между столкновениями электрона,  $c$  — скорость света в вакууме) предполагаются постоянными.

Если параметр магнитогидродинамического взаимодействия  $N$  мал, то решение системы (1), (2) общепринятым способом можно искать в виде следующих рядов:

$$\begin{aligned} u &= 1 + Nu_1 + \dots, \quad v = Nv_1 + N^2v_2 + \dots, \quad p = p_0 + Np_1 + \dots \\ \mathbf{j} &= \mathbf{j}_0 + N\mathbf{j}_1 + \dots, \quad \varphi = \varphi_0 + N\varphi_1 + \dots \end{aligned} \quad (3)$$

Распределение электрического тока  $\mathbf{j}_0$  и потенциала  $\varphi_0$  в нулевом приближении находится из системы (2), в которой надо положить  $v = 0$ ,  $u = 1$ . Известные решения такой системы перечислены в работах [9, 10]. Возмущения (первого порядка малости) газодинамических параметров определяются из системы

$$\begin{aligned} \frac{\partial u_1}{\partial x} + \frac{\partial p_1}{\partial x} &= b_j y_0, \quad \frac{\partial v_1}{\partial x} + \frac{\partial p_1}{\partial y} = -b_j x_0, \quad \frac{\partial u_1}{\partial x} + \frac{\partial v_1}{\partial y} = 0 \\ u_1 &= v_1 = p_1 = 0 \quad (x \rightarrow -\infty) \end{aligned} \quad (4)$$

Для функции тока  $\psi(x, y)$  из (4) без труда находится уравнение

$$\begin{aligned} \Delta\psi &= \frac{\partial^2\psi}{\partial x^2} + \frac{\partial^2\psi}{\partial y^2} = \int_{-\infty}^x j_{x0} \frac{db}{dx} dx \quad \left( u_1 = \frac{\partial\psi}{\partial y}, \quad v_1 = -\frac{\partial\psi}{\partial x} \right) \\ \psi(x, 0) &= \psi(x, 1) = 0, \quad |\psi(x, y)| < C = \text{const} \quad (x \rightarrow \infty) \end{aligned} \quad (5)$$

Уравнение (5) было приведено Шерклифом [2].

Если  $b(x) = \eta(x)$ , то интеграл в правой части уравнения (5) равен  $j_{x0}(0, y)$  при  $x > 0$  и нулю при  $x < 0$  и

$$\Delta\psi = 0 \quad (x < 0), \quad \Delta\psi = j_{x0}(0, y) \quad (x > 0) \quad (6)$$

Решение (6) ищем в виде рядов

$$\psi = \sum_{k=0}^{\infty} \psi_k^{\circ}(x) \sin k\pi y \quad (x < 0), \quad \psi = \sum_{k=1}^{\infty} \psi_k^{\circ\circ}(x) \sin k\pi y \quad (x > 0)$$

Коэффициенты  $\psi_k^{\circ}$  и  $\psi_k^{\circ\circ}$ , согласно (6), удовлетворяют уравнениям

$$\begin{aligned} \psi_k^{\circ\prime\prime} - \frac{k^2\pi^2}{2}\psi_k^{\circ\prime} &= 0 \quad (x < 0), \quad \psi_k^{\circ\prime\prime\prime} - k^2\pi^2\psi_k^{\circ\prime} = f_k \quad (x > 0) \\ \psi_k^{\circ}(0) &= \psi_k^{\circ\circ}(0), \quad \psi_k^{\circ\prime}(0) = \psi_k^{\circ\prime\prime}(0) \end{aligned} \quad (7)$$

$$(j_{x0}(0, y) = \sum_{k=1}^{\infty} f_k \sin k\pi y, \quad f_k = 2 \int_0^1 j_{x0}(0, y) \sin k\pi y dy) \quad (8)$$

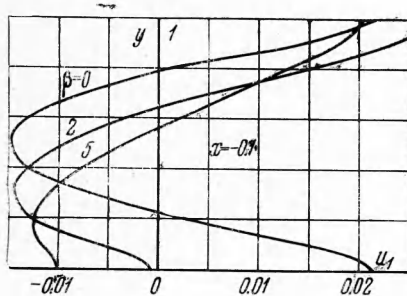
Границные условия в точке  $x = 0$  получены из условия непрерывности скоростей  $u$  и  $v$  при  $x = 0$ . На бесконечности ( $|x| \rightarrow \infty$ ) функции  $\psi_k^{\circ}$  и  $\psi_k^{\circ\circ}$  должны быть ограничены.

После решения (7) находим

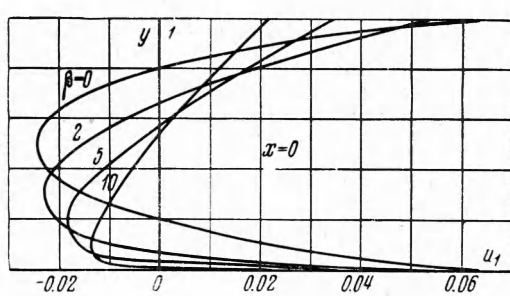
$$\begin{aligned} \psi &= -\sum_{k=1}^{\infty} \frac{f_k}{2k^2\pi^2} e^{k\pi x} \sin k\pi y, \quad \psi = -\sum_{k=1}^{\infty} \frac{f_k}{2k^2\pi^2} (2 - e^{-k\pi x}) \sin k\pi y \\ u_1 &= -\sum_{k=1}^{\infty} \frac{f_k}{2k\pi} e^{k\pi x} \cos k\pi y, \quad u_1 = -\sum_{k=1}^{\infty} \frac{f_k}{2k\pi} (2 - e^{-k\pi x}) \cos k\pi y \end{aligned} \quad (9)$$

Обратим внимание, что для расчета поля скоростей при  $b(x) = \eta(x)$  необходимо знать только величину  $j_{x0}(0, y)$ . Это объясняется тем, что

вследствие консервативности электромагнитной силы слева и справа от сечения  $x = 0$  вихрь скорости  $\omega = \partial v_1 / \partial x - \partial u_1 / \partial y$  равен нулю при  $x < 0$  и сохраняется вдоль линий тока (в нулевом приближении совпадающих с прямыми  $y = \text{const}$ ) при  $x > 0$ . Изменение же вихря на линии  $y = \text{const}$  в сечении  $x = 0$  равно  $-j_{x0}(0, y)$ . Таким образом, распределение



Фиг. 1



Фиг. 2

вихря во всем канале (а следовательно, и поле скоростей) становятся известными, если задан осевой ток  $j_{x0}(0, y)$ . Математически это отражено в уравнении (6).

Скорость течения  $u_1(\infty, y) = u_1^+(y)$  при  $x \rightarrow \infty$ , согласно (9), выражается формулой

$$u_1^+(y) = - \sum_{k=1}^{\infty} \frac{f_k}{k\pi} \cos k\pi y \quad (10)$$

Но из (8) имеем

$$\int_0^y j_{x0}(0, y) dy = u_1^+(y) + \sum_{k=1}^{\infty} \frac{f_k}{k\pi} \quad (11)$$

Учитывая, что средняя по сечению канала скорость  $u_1^+$  равна нулю, из (11) получаем

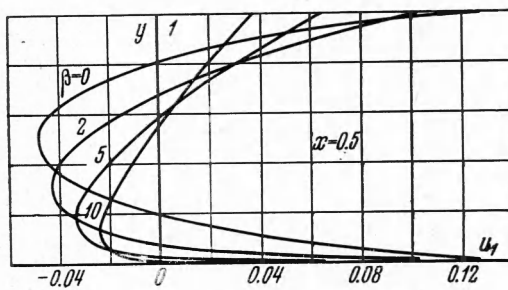
$$u_1^+(y) = \int_0^y j_{x0}(0, y) dy - \sum_{k=1}^{\infty} \left( \int_0^y j_{x0}(0, y) dy \right) dy \quad (12)$$

Таким образом, асимптотический профиль скорости определяется при помощи элементарного интегрирования. Найденную функцию  $u_1^+(y)$  можно затем использовать для ускорения вычислений, так как она (см. (10)) заменяет медленно сходящуюся часть в формуле (9).

Заметим, что, согласно (12),  $u_1^+(0) = u_1^+(1)$ , если средний по сечению  $x = 0$  ток  $j_{x0}$  равен нулю. Это условие всегда выполняется, если стенки канала при  $x < 0$  непроводящие и  $j_{x0} \rightarrow 0$  при  $x \rightarrow -\infty$ . Поэтому график асимптотической скорости, приведенный в работе [8], из которого следует, что  $u_1^+(0) \neq u_1^+(1)$  (хотя выполняется указанное выше условие), является ошибочным.

Можно также показать, что для канала с непроводящими стенками величина  $u_1^+(0) = u_1^+(1) = u_{1w}^+$  равна  $q = Q(\sigma B_*^2 h^2 U^2 / c^2)^{-1}$ , где  $Q$  — джоулева диссипация в канале, подсчитанная по распределению токов в нулевом приближении.

Отметим также, что, как следует из формул (9), осевая скорость в сечении  $x = 0$  в два раза меньше скорости при  $x \rightarrow \infty$ .



Фиг. 3

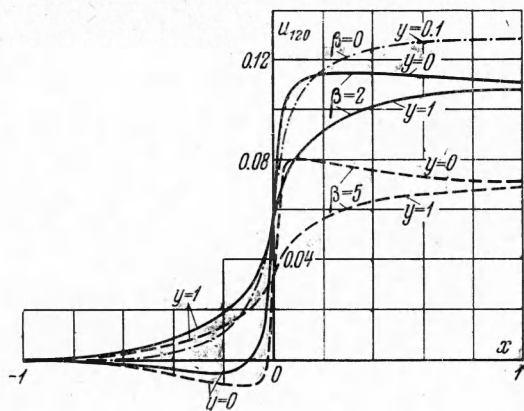
Рассмотрим течение анизотропно проводящей жидкости в канале, стенки которого — идеально секционированные электроды при  $x > 0$ , на которых выполняется условие  $j_y = -(1 - K) = \text{const}$ , и непроводящие при  $x < 0$ . Величина  $K \leq 1$  представляет собой параметр нагрузки.

Распределение электрических токов в таком канале при  $b(x) = \eta(x)$  найдено в работе [11]. Величина  $j_{x0}(0, y)$  представляется формулой

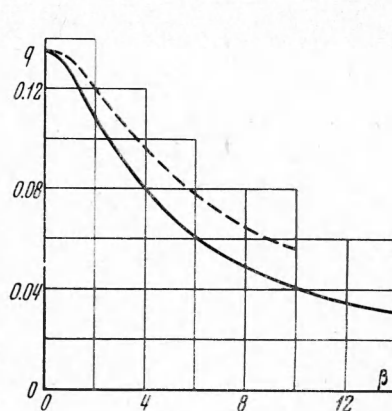
$$j_{x0}(0, y) = \frac{K}{\beta} \left[ 1 - \frac{2}{(4 + \beta^2)^{1/2}} \left( \operatorname{ctg} \frac{\pi y}{2} \right)^{1-2v} \right]$$

$$v = \frac{1}{\pi} \operatorname{arc tg} \frac{2}{\beta} \quad (0 < v < 0.5), \quad j_{x0}(0, y) = \frac{K}{\pi} \ln \operatorname{tg} \frac{\pi y}{2} \quad (\beta = 0) \quad (13)$$

При  $K = 0$  решение соответствует режиму короткого замыкания, при  $K = 1$  — режиму холостого хода, при котором распределение электрического тока становится таким же, как в канале с непроводящими стенками.



Фиг. 4



Фиг. 5

Соответствующие указанному распределению тока коэффициенты Фурье (8) находились в результате численного интегрирования.

Приведем некоторые результаты расчетов для случая  $K = 1$ . Профили скорости в сечении  $x = -0.1$  для различных  $\beta$  показаны на фиг. 1. При  $\beta \neq 0$  течение перестает быть симметричным относительно оси  $y = 1/2$ . Производные  $du_1 / dy$  на стенках равны нулю. Это связано с тем, что вихрь скорости  $\omega$  равен нулю при  $x < 0$ , а на стенах  $\omega = -du_1 / dy$ .

Профили  $u_1(0, y)$  и  $u_1(0.5, y)$  представлены соответственно на фиг. 2 и 3. Как указывалось ранее,  $u_1(0, y) = 0.5 u_1^+(y)$ , где  $u_1^+(y)$  — асимптотический профиль скорости. При  $x > 0$  производная  $du_1 / dy$  на нижней стенке обращается в бесконечность. Это объясняется тем, что  $\omega(x, 0) = -j_{x0}(0, 0) = +\infty$  при  $x > 0$ . Так как  $\omega(x, 1) = -j_{x0}(0, 1) \neq \infty$  при  $\beta \neq 0$ , то производная  $du_1 / dy$  на верхней стенке конечна. С увеличением параметра Холла  $\omega$  возмущения скорости по абсолютной величине уменьшаются. На фиг. 4 показано распределение скорости вдоль верхней и нижней стенок. При  $x \approx 1$  величина  $u_1$  практически не отличается от своего асимптотического значения  $u_1^+$ . Заметим, однако, что с увеличением параметра Холла  $\beta$  выход на асимптотические значения замедляется.

Так как на стенах  $j_y = 0$  (при  $K = 1$ ), то, согласно первому уравнению (4), имеем  $p_1 = -u_1$  при  $y = 0$  и  $y = 1$ . Таким образом, потери давления в канале равны  $p_1(\infty) = -u_1^+(0) = -u_{1w}^+$ . Величина  $u_{1w}^+$ , как указывалось выше, равна безразмерной джоулевой диссипации  $q$ . Зависимость  $q(\beta)$  представлена на фиг. 5. Здесь же пунктиром показана функция  $q(0)$ , определенная в работе [12], в которой, в отличие от [11], электрическое поле в канале с непроводящими стенками рассчитывалось при помощи метода Фурье. Расхождение кривых, по всей видимости, объясняется недостаточной точностью вычислений в работе [12]. (В [12] задача сведена к решению бесконечной системы алгебраических уравнений, которая заменялась конечной системой одного и того же порядка для всех  $\beta$ . В то же время известно, что, как правило, с увеличением  $\beta$  сходимость различных приближенных методов ухудшается.)

Если  $K \neq 1$ , то на стенках  $p_1 = -u_1$  при  $x < 0$  и  $p_1 = -u_1 - (1 - K)x$  при  $x > 0$ . В области асимптотического течения  $p_1^+ = -u_1^+(0) - (1 - K)x$ . Величина  $u_1^+(0)$  в этой формуле меньше приведенной на фиг. 5 в  $K$  раз.

Поступила 31 III 1967

#### ЛИТЕРАТУРА

1. Sherciff T. A. Edge effects in electromagnetic flowmeters. *T. Nucl. Energy*, 1956, vol 3, p. 305.
2. Шерклиф Дж. Теория электромагнитного измерения расхода. Изд. «Мир», 1965.
3. Sutton G. W., Carlson A. W. End effects in inviscid flow in a magneto-hydrodynamic channel. *J. Fluid Mech.*, 1961, vol. 11, pt. 1, p. 121.
4. Ватажин А. Б. О деформации профиля скорости в неоднородном магнитном поле. *ПММ*, 1967, т. 31, вып. 1.
5. Ватажин А. Б. Определение параметров дозвукового течения в канале за зоной осевой неоднородности слабых возмущающих сил и источников тепла. *ПММ*, 1967, № 3.
6. Dragos L. Sur l'influence des extrémités des électrodes sur l'écoulement Magnéto-hydrodynamique dans les canaux. *C. r. Acad. sci.*, A, 1966, t. 263, p. 352—355.
7. Dragos L. Sur l'influence des extrémités des électrodes sur l'écoulement magneto-hydrodynamique dans les canaux. *C. r. Acad. sci.*, A, 1966, t. 263, p. 328—331.
8. Guyennengoc-Trahan. La première approximation pour les écoulements dans les tuyères magnetohydrodynamiques avec effets d'extrémités et de conductivité électrique non uniforme, anisotrope. *C. r. Acad. sci.*, A, 1966, t. 263, p. 639—642.
9. Ватажин А. Б., Регирем С. А. Дополнение к книге Дж. Шерклифа «Теория электромагнитного измерения расхода» (Изд. «Мир», 1965). «Электрические поля в каналах магнитогидродинамических устройств».
10. Регирем С. А. Магнитогидродинамические течения в каналах и трубах. Изд. АН СССР, ВИНИТИ, Итоги Науки, Серия Механика, Гидромеханика, 1964, 1966.
11. Sutton G. W. End losses in magnetohydrodynamic channels with tensor conductivity and segmented electrodes. *J. Appl. Phys.*, 1963, vol. 34, No. 2, p. 396—403. (Русск. перев.: Информ. бюлл. Прямое преобразование тепловой энергии в электрическую. АН СССР, ВИНИТИ, 1964, вып. 2 (19)).
12. Pericart J., Montardy A. Contribution à l'étude des effets d'extrémité dans les générateurs MHD. *Rev. gen. électr.*, 1965, t. 74, No. 11, p. 863—872.